

九州大学工学部 正員 山崎達也

大学院 学生員 石川信隆

1. 緒言 漸増曲げモーメントおの軸力を受ける平面ラーメンの弾塑性状態を解明するため、著者は先に弾塑性領域における曲げと軸力とを考慮した最小補足エネルギー法⁽¹⁾を導入した。ここではこのエネルギー法に Complementary Minimum Principle を適用して不静定反力を算定するいわゆるエネルギー法を採用し、実際の矩形断面をもつ山形ラーメンの弾塑性解析を行った。一般に山形ラーメンの弾塑性領域の発生状況については漸増過程は構造型式おの荷重状態により異なるが、本研究は反力と変位との2つの山形ラーメンに均等分布荷重が載荷した場合の解法を例示する。なお歪率による影響は考慮しない。

2. 解法 図-1に示すとき弾性、第1弾塑性、第2弾塑性状態におけるそれぞれの応力分布を用いた最小補足エネルギー法の誘導考察については既に発表した⁽¹⁾ので、ここでは結果のみを採用する。すなわち弾塑性領域における曲げと軸力とを考慮した矩形断面に対する補足エネルギーは次式で与えられる。

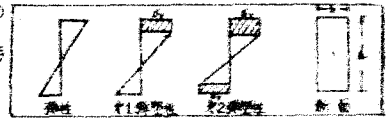


図-1

$$U = \int_E U_1 ds + \int_{n_1} U_2 ds + \int_{n_2} U_3 ds \quad \dots (1)$$

ここに U_1, U_2, U_3 はそれぞれ部分の単位長さ当りに与えられる弾性、第1弾塑性、第2弾塑性領域における補足エネルギーの次式のごとく表われ、 I, A は積分記号の添字 E, E_1, E_2 はそれぞれ部分の弾性、第1、第2弾塑性領域の長さを示す。

$$U_1 = \frac{M^2}{2EI} (M^2 + 3N^2), \quad U_2 = \frac{M^2}{2EI} \left[\frac{8(1-N)^2}{3(1-N)-M} + 3(2N-1) \right], \quad U_3 = \frac{M^2}{2EI} (3 - 2\sqrt{3-3N^2-2M})$$

$M = M/M_y, N = N/N_y$ 、また $M_y (= bd^3/6)$ および $N_y (= bd)$ はそれぞれ極限曲げモーメントおの軸力、 EI は断面

(1). 中央に弾塑性領域が生ずる場合

図-2のごとく中央Bより b_1 、ついで b_2 までそれぞれ第1弾塑性領域が生ずるものとすれば、エネルギー法は式(1)より次式となる。

$$U = 2 \left[\int_0^{b_1} U_2 ds + \int_{b_1}^{b_1+b_2} U_3 ds + \int_{b_1+b_2}^l U_1 ds \right] \quad \dots (2)$$

一方任意点の曲げモーメントおの軸力はそれぞれ次式のごとくである。

$$\left. \begin{aligned} M &= K \{ W(\xi - \xi^2/2) - H \tan \theta \xi \} \\ N &= W(1 - \xi) \sin \theta + H \cos \theta \end{aligned} \right\} \quad \dots (3)$$

ここに $K = N_y l / M_y, \xi = x/l, H = H/N_y, W = wl/l, N_y$

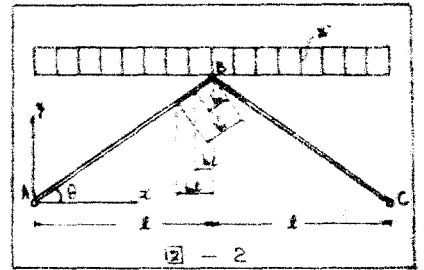


図-2

さて水平反力を算定するため式(2)に式(3)を代入して Complementary Minimum Principle を適用すれば、次式がえられる。

$$\frac{\partial U}{\partial H} = 2 \left\{ [F_1(\xi)]_{b_1}^{b_1+b_2} + [F_2(\xi)]_{b_1}^{b_1+b_2} + [F_3(\xi)]_{b_1+b_2}^l \right\} l \cos \theta = 0 \quad \dots (4)$$

ここに $b_1 = b_1 \cos \theta / l, b_2 = b_2 \cos \theta / l$ 、また $F_1(\xi), F_2(\xi), F_3(\xi)$ はそれぞれ次式(示される W, H, θ の函数)である。

$$F_1(\xi) = \int \frac{\partial U}{\partial H} d\xi = \frac{M_y}{EI} \left[-\tan \theta \{ W(\xi/3 - \xi^2/6) - H \tan \theta \xi/3 \} K + 3 \cos \theta \{ \pi \sin \theta (\xi - \xi^2/2) + H \cos \theta \xi \} \right]$$

$$F_2(\xi) = \int \frac{\partial U}{\partial H} d\xi = \frac{M_y}{EI} \left[-4 \tan \theta \{ I_1(\xi, -2) - I_1(\xi, -2) \} p^2 + 12 \{ I_2(\xi, -2) - I_2(\xi, -1) + 1/2 \} \cos \theta \right]$$

$$F_3(\xi) = \int \frac{\partial U}{\partial H} d\xi = \frac{M_y}{EI} \left[-\tan \theta \{ I_3(\xi, -1) \} + 3 \cos \theta \{ (W \sin \theta + H \cos \theta) I_0(\xi, -1) - W \sin \theta I_0(\xi, -1) \} \right]$$

ただし I_1, I_2, I_3 はそれぞれ次に示す不定積分で容易に算定され、また諸係数の

表-1

内容は表-1のごとくである。 $I_1(m, n) = \int_{a_1}^{a_2} (a_1 t^m + p t + b_1)^n dt, t = d_1 \xi + \beta_1$

$$I_2(m, n) = \int (p \xi + q)^m (d_1 \xi^2 + \beta_1 \xi + \gamma_1)^n d\xi$$

$$I_3(m, n) = \int \xi^m (\beta_1 \xi^2 + \beta_2 \xi + \gamma_1)^n d\xi$$

a_1	$KW/2$	β_1	$2\xi - 2\theta$	I_1	$\frac{1}{3} \xi^3 - \beta_1 \xi^2 + \beta_2 \xi + \gamma_1$
a_2	$KW/2$	β_2	$3 \tan \theta \xi + (H \cos \theta + W \sin \theta)$	I_2	$\frac{1}{3} (1 - \xi^2 \cos^2 \theta)$
a_3	$KW - 3W^2 \cos^2 \theta$	β_1	$2K(H \cos \theta - W)$	I_3	$\frac{1}{3} (1 - \xi^2 \cos^2 \theta)$
β_2	$W \sin \theta$	β_3	$1 - W \cos \theta - H \cos \theta$	I_0	$\frac{1}{3} (1 - \xi^2 \cos^2 \theta)$

すなわち水平反力Hは式(4)を満足することく逐次近似法を用いて数値的に算定するわけで、第1次近似値として弾塑性領域の発生しない弾性時の値をとる。すなわち式(4)に $b_1 = b_2 = 0$ を代入して次値をうる。

$$H = \frac{5 \tan \theta / 24 - 3 \sin \theta \cos \theta / K^2}{\tan^2 \theta / 3 + 3 \cos^2 \theta / K^2} W \quad \dots (5)$$

さらに第1および第2弾塑性領域未知数 b_1 および b_2 に対しては弾塑性境界条件としての次の式(6)および式(7)にそれぞれ式(3)を代入して算定可能となる。

$$\text{弾性と第1弾塑性との境界} : |M| = 1 - N \quad \dots (6)$$

$$\text{第1弾塑性と第2弾塑性との境界} : |M| = 1 + N - 2N^2 \quad \dots (7)$$

$$\text{なお第2弾塑性の極限としての完全塑性条件} : |M| = 1.5(1 - N^2) \quad \dots (8)$$

一方中央変位Bのためみ δ を求めるにはB変位に仮想荷重Pを作用させて次式にて決定される。

$$\delta_0 = \frac{\partial U}{\partial P} = 2 \left\{ [D_1(\xi)]_0^{+b_1} + [D_1(\xi)]_{-b_1}^{-1} + [D_2(\xi)]_{-b_2}^{-1} \right\} l \sin \theta \quad \dots (9)$$

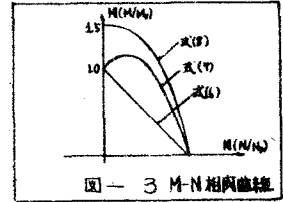


図-3 M-N 相関曲線

ここに $D_1(\xi)$, $D_2(\xi)$, $D_3(\xi)$ は式(4)の $F_1(\xi)$, $F_2(\xi)$, $F_3(\xi)$ 中の係数 $-\tan \theta$ および $\cos \theta$ の代りにそれぞれ $1/2$ および $\sin \theta / 2$ を置換したものと合致し、したがって水平反力を求めれば弾塑性たわみは容易に算定される。

(2) 引き続きD変位にも弾塑性領域が生ずる場合 (図-4参照)

(1)と同様水平反力HはD変位隣の弾塑性領域を式(1)に導入したうえで、Complementary Minimum Principleを適用し、式(10)を満足することく試算により算定するが、この場合の第1次近似値として式(4)で求めた値を採用する。

$$\frac{\partial U}{\partial H} = 2 \left\{ [F_1(\xi)]_0^{d_1} + [F_1(\xi)]_{d_1}^{d_2} + [F_2(\xi)]_{d_2}^{e_1} + [F_2(\xi)]_{e_1}^{e_2} + [F_3(\xi)]_{e_2}^{+b_1} + [F_3(\xi)]_{-b_1}^{-b_2} \right\} l \sin \theta = 0 \quad \dots (10)$$

ここに $F_1(\xi)$, $F_2(\xi)$, $F_3(\xi)$ は式(4)と全く同じで、また弾塑性領域を指定する d_1 , e_1 および d_2 , e_2 はそれぞれ式(6)および式(7)を用いて求められる。

さらにD変位は $\delta = (N+M)\delta_y$ で与えられるゆえ、これに式(4)を代入したうえで $d\delta/dx = 0$ を用いて次式より算定される。

$$\alpha_0 = (1 - \sin \theta / K - H \tan \theta / W) l \quad \dots (11)$$

(3) 中央変位Bに塑性ヒンジが生ずる場合

水平反力Hは式(5)に $\xi = 1$ を代入し式(8)を用いて次式がえられる。

$$H = \frac{-K \tan \theta + \sqrt{K^2 \tan^2 \theta + 3 \cos^2 \theta (KW + 3)}}{3 \cos^2 \theta} \quad \dots (12)$$

仮想荷重Wは式(11)および式(12)を式(3)に代入したうえで式(8)の条件を満足するとき、すなわちB変位に塑性ヒンジが生じてD変位に塑性ヒンジが形成される場合に決定される。

3. 数値計算例 $\theta = 30^\circ$, $d/l = 0.1$ の場合の計算結果の一部を図-5に示す。

4. 結論 本研究はエネルギー法による2ヒンジ対称山形断面の弾塑性最適解法を示したものであり、両端固定山形断面の場合と同様に本法により解析可能となるが、非線形関数を取り扱う関係上さらに複雑さが増える事は止むをえない。本法はエネルギー法であるため弾塑性曲線法の場合に比較してより簡明に弾塑性領域を包含しうる長が有利である。

参考文献) 1) 山崎・石川: 弾塑性解析に用いる変形法の基本式の誘導について, 土木学会西部支部研究発表会論文集, 昭和41年11月
2) 山崎・石川: 2ヒンジアーチの弾塑性たわみ, 第20回土木学会年次学術講演会講演要旨集, 昭和40年5月。

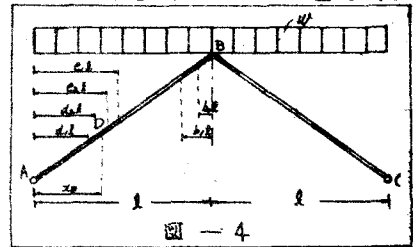


図-4

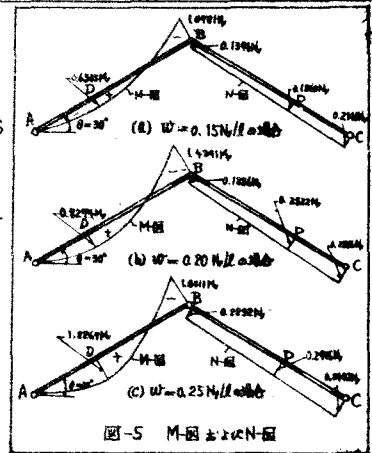


図-5 M-N 曲線およびN-図